

# NaOH-NaAl(OH)<sub>4</sub>-H<sub>2</sub>O 三元溶液体系的比定压热容

宋 婷, 刘士军, 肖刘萍, 陈启元

(中南大学 化学化工学院, 长沙 410083)

**摘要:** 采用 C80 热量仪测量了温度范围为 298.15~363.15 K, 总碱质量摩尔浓度  $m_T(m_{\text{NaOH}}+m_{\text{NaAl(OH)}_4})$  为 0.88~6.16 mol/kg, 苛性比  $\alpha_K(m_T/m_{\text{NaAl(OH)}_4})$  为 1.9~5.0, 及常压条件下 NaOH-NaAl(OH)<sub>4</sub>-H<sub>2</sub>O 三元溶液体系的比定压热容; 建立铝酸钠溶液体系比定压热容与总碱度、苛性比和温度的关系式; 用该关系式对文献结果进行计算, 比定压热容的计算值与其实验值之间的平均偏差小于 0.014。根据测定结果计算研究铝酸钠溶液的表观摩尔比定压热容( $c_{p\phi}$ )随温度、浓度、及  $1/\alpha_K$  的变化规律。结果表明: 铝酸钠溶液的表观摩尔热容  $c_{p\phi}$  随温度的变化有一个最大值出现; 与体系的  $1/\alpha_K$  成线性关系。

**关键词:** 铝酸钠溶液; 三元体系; 比定压热容; 表观摩尔热容

中图分类号: O642.1

文献标志码: A

## Isobaric heat capacity for NaOH-NaAl(OH)<sub>4</sub>-H<sub>2</sub>O ternary solutions system

SONG ting, LIU Shi-jun, XIAO Liu-ping, CHEN Qi-yuan

(School of Chemistry and Chemical Engineering, Central South University, Changsha 410083, China)

**Abstract:** The specific heat capacities at constant pressure of alkaline sodium aluminate solutions in NaOH-NaAl(OH)<sub>4</sub>-H<sub>2</sub>O system were determined using a commercial calorimeter (Setaram C80) at temperatures ranging from 298.15 K to 363.15 K and constant pressure, where the total alkali molality  $m_T(m_{\text{NaOH}}+m_{\text{NaAl(OH)}_4})$  and  $\alpha_K(m_T/m_{\text{NaAl(OH)}_4})$  are 0.88~6.16 mol/kg and 1.9~5.0, respectively. The equation of the specific heat capacity as a function of total alkalinity,  $\alpha_K$  and temperature was constructed for sodium aluminate solution. The error between the results calculated from this equation and experimental values derived from the literature is 0.014. The apparent molar specific heat capacities ( $c_{p\phi}$ ) for sodium aluminate solution were also calculated, and the results show that the apparent molar specific heat capacities ( $c_{p\phi}$ ) have a maximum value with the temperature increasing, and that  $c_{p\phi}$  is linear varied with the values of  $1/\alpha_K$ .

**Key words:** sodium aluminate solution; ternary system; heat capacity; apparent molar heat capacities

三元溶液体系 NaOH-NaAl(OH)<sub>4</sub>-H<sub>2</sub>O 的物理化学性质是铝化学中非常重要的内容, 许多地质变化过程及地球生态都涉及到铝酸钠溶液的物理化学性质, 例如矿物形成、地热变化、岩浆沉积以及核废水在地下 的变化等。同时, 铝酸钠溶液是铝工业生产过程中非常重要的溶液体系, 其物理化学性质对铝工业具有重要意义<sup>[1]</sup>。但由于铝酸钠溶液离子组分和结构的复杂

性, 强碱性和不稳定性等特点, 关于铝酸钠溶液的热容实验研究非常有限。HOVEY 等<sup>[2]</sup>运用了流动热量仪测定温度为 10~50 °C 常压条件下铝酸钠溶液的热容, 但是他们仅测定两组不同的苛性比的溶液。MASHOVETS 等<sup>[3]</sup>采用静态量热法测定了温度在 150~300 °C 之间铝酸钠溶液的热容, 但不在恒定压强条件下, 同时溶液中 Al<sub>2</sub>O<sub>3</sub> 的质量分数在 1%~1.5% 内,

基金项目: 国家自然科学基金资助项目(20873182)

收稿日期: 2011-05-04; 修订日期: 2011-12-30

通信作者: 刘士军, 教授, 博士; 电话: 0731-88877364; E-mail: liushijun@hotmail.com

远低于实际工业生产的需要。MAGALHAES 等<sup>[4]</sup>运用采集流动热量仪测定了铝酸钠溶液在离子强度小于 6 mol/kg 及不同苛性比条件下铝酸钠溶液的比定压热容, 仅测定了 25 °C 温度下的数据。CHEN 等<sup>[5]</sup>运用量热法结合 CANIANI 等<sup>[6]</sup>的数据计算 0~160 °C Al(OH)<sub>4</sub><sup>-1</sup> 的比定压热容, 但未计算铝酸钠溶液体系的热容。SCHRODLE 等<sup>[7]</sup>等运用微量热仪 C80 研究了压强为 10 MPa 离子强度小于 6 mol/kg 不同苛性比条件下铝酸钠溶液的比定压热容。本文作者测定了 298.15~363.15 K 温度范围常压下铝酸钠溶液的比定压热容, 并建立了铝酸钠溶液体系比定压热容与总碱度、苛性比及温度的关系式, 以期更好地完善铝酸钠溶液在常压下的热力学数据。

## 1 实验

### 1.1 试剂和溶液

NaOH 原液由优级纯 NaOH (国药集团化学试剂有限公司)加高纯水(尽量除尽 CO<sub>2</sub>)制备, 具体方法参见文献[8], 浓度的确定采用盐酸滴定。超纯 Al 丝(>99.999%) (国药集团化学试剂有限公司), 用体积比为 1:1 的盐酸煮沸约 10min, 再用超纯水和无水乙醇洗涤, 干燥、密封储存。铝酸钠溶液的制备参照文献[9]的方法采用 Al 丝加 NaOH 原液在聚四氟乙烯容量瓶中反应制备而成, 反应温度控制在 343~363.15 K, 反应 6~12 h, 该方法避免了化学分析铝酸钠溶液的成分。实验中配制溶液及热容测定所用的水均为一次蒸馏水再用 MILLIPORE 公司的超纯水系统 Synergy UV 纯化的高纯水, 电导率小于 1.0×10<sup>-4</sup> S·m。

### 1.2 实验方法及基本原理

#### 1.2.1 实验方法

实验采用 C80 微量热仪(法国 Setaram 公司)测定, 仪器能直接测量过程的吸热、放热情况。其主要技术指标如下<sup>[10]</sup>: 可测温度范围室温至 300 °C; 恒温控制精度±0.001 °C; 升温速度 0.01~2.00 °C/min; 热量测量感度 2~5 μW; 热量测量精度 0.1 μW。

实验的参比池和样品池都使用常压标准池。由于铝酸钠溶液具有强碱性, 所以在常压池内加聚乙烯塑料管作为内衬。采用台阶升温法测定溶液的比定压热容: 在样品池中加入 6 g 左右铝酸钠溶液, 参比池不加溶液, 量热仪在初始温度 T<sub>0</sub> 达到稳定后, 以 0.25 K/min 的升温速率升温到 T<sub>1</sub>, 并恒温 1 h, 得到样品有个吸热量 Q<sub>1</sub>, 再以同样升温速率升温到 T<sub>2</sub>, 并恒温同样时间, 得到样品的吸热量 Q<sub>2</sub>, 依次类推, 至最终温

度(363.15 K)。当样品池和参比池都为空时采用以上同样操作, 则理论上热效应应为零, 但由于仪器本身的原因, 空白测空的热效应不为零, 因此, 需将此空白热效应从样品测量结果中扣除。

#### 1.2.2 实验基本原理

当样品的温度自 T<sub>0</sub>(单位为 K)升到 T<sub>1</sub>, 样品吸收热量为 Q<sub>1</sub>(单位为 J), Δ<sub>T<sub>0</sub></sub><sup>T<sub>1</sub></sup>H = Q<sub>1</sub> 当温度从 T<sub>1</sub>继续升高到 T<sub>2</sub>时, 样品吸收热量为 Q<sub>2</sub>(单位为 J), 则 Q<sub>2</sub> = Δ<sub>T<sub>1</sub></sub><sup>T<sub>2</sub>H, 这时有 Δ<sub>T<sub>0</sub></sub><sup>T<sub>2</sub>H = Q<sub>1</sub> + Q<sub>2</sub>, 依次类推当温度升高至任意温度 T 时有</sup></sup>

$$\Delta_{T_0}^T H = H_T - H_{T_0} = Q_n + \cdots + Q_3 + Q_2 + Q_1 \quad (1)$$

所以根据实验数据可以得出温度在 T<sub>0</sub>~T 区间样品的焓变 Δ<sub>T<sub>0</sub></sub><sup>T</sup>H (单位为 J)与 T 的关系式, 将关系式除以样品的质量, 得到单位质量焓变 Δ<sub>T<sub>0</sub></sub><sup>T</sup>H<sub>g</sub> (单位为 J/g) 与 T 的关系式。由于

$$c_p = \left( \frac{\partial H}{\partial T} \right)_p = \left( \frac{\partial (H_T - H_{T_0})}{\partial T} \right)_p = \left( \frac{\partial \Delta_{T_0}^T H}{\partial T} \right)_p \quad (2)$$

所以对 Δ<sub>T<sub>0</sub></sub><sup>T</sup>H<sub>g</sub> 与 T 的关系式微分可得到样品 c<sub>p</sub>(单位为 J/(K·g))与 T 的关系式, 从而得到样品的比定压热容。

测量空白时也得到 Δ<sub>T<sub>0</sub></sub><sup>T</sup>H 与 T 的关系式, 所以样品的测量数据的 Δ<sub>T<sub>0</sub></sub><sup>T</sup>H 与 T 的关系式减去空白的 Δ<sub>T<sub>0</sub></sub><sup>T</sup>H 与 T 的关系式才是样品实际的 Δ<sub>T<sub>0</sub></sub><sup>T</sup>H 与 T 的关系式。

## 2 结果与讨论

### 2.1 仪器和实验方法准确性的校准

为了检验量热仪测量的准确性及实验方法的可靠性用上述方法测量了纯水的比定压热容, 所得结果列于表 1。

由表 1 可知, 所得的水的比定压热容值与文献值比较相对偏差(RE)小于 0.9%, 说明设备和实验方法是可靠的。

### 2.2 铝酸钠溶液体系的比定压热容

用文中所述方法在温度为 298.15~363.15 K 常压条件下测定一系列不同浓度不同 α<sub>k</sub>(α<sub>k</sub>=m<sub>T</sub>/m<sub>NaAl(OH)<sub>4</sub></sub>, m<sub>T</sub> 为总碱质量摩尔浓度, m<sub>NaAl(OH)<sub>4</sub></sub> 为 NaAl(OH)<sub>4</sub> 的质量摩尔浓度)的 NaOH-NaAl(OH)<sub>4</sub>-H<sub>2</sub>O 三元溶液体系的焓变 Δ<sub>T<sub>0</sub></sub><sup>T</sup>H 见表 2~3。

表1 水的比定压热容  $c_p$  与文献[11]  $c_p^0$  的比较Table 1 Comparison values of isobaric heat capacity of water  $c_p$  with  $c_p^0$  in Ref.[11]

T/K	$c_p/(J\cdot g^{-1}\cdot K^{-1})$	$c_p^0/(J\cdot g^{-1}\cdot K^{-1})$	RE/%	T/K	$c_p/(J\cdot g^{-1}\cdot K^{-1})$	$c_p^0/(J\cdot g^{-1}\cdot K^{-1})$	RE/%
300	4.199 1	4.180 6	0.44	330	4.210 6	4.183 7	0.64
305	4.178 3	4.179 5	0.03	340	4.218 9	4.185 8	0.79
310	4.170 0	4.179 2	0.22	345	4.226 1	4.188 3	0.90
315	4.171 7	4.179 6	0.19	355	4.233 6	4.198 2	0.84
320	4.180 7	4.180 5	0.01	360	4.208 7	4.202 3	0.15
325	4.194 5	4.181 9	0.30				

表2 不同浓度铝酸钠溶液的  $\Delta_{T_0}^T H$ Table 2  $\Delta_{T_0}^T H$  of sodium aluminate solution with different concentrations

Experiment No.	T/K	$\Delta_{T_0}^T H/J$	Condition	Experiment No.	T/K	$\Delta_{T_0}^T H/J$	Condition
1	302.73	109.957	$T_0=297.77\text{ K}$ $m_1=0.881\text{ 3 mol/kg}$ $\alpha_k=3.196\text{ 2}$ $M(\text{aq})=5.641\text{ 5 g}$	302.68	98.957		
	307.69	220.170		307.64	198.097		
	312.64	331.082		312.6	298.168		
	317.59	441.599		317.55	398.461		
	322.57	557.139		322.52	499.302		
	327.52	669.198		327.49	600.425	$T_0=297.73\text{ K}$	$m_1=2.888\text{ 0 mol/kg}$
	332.49	781.572		332.44	701.520	$\alpha_k=3.361\text{ 7}$	
	337.43	894.174		337.40	802.746	$M(\text{aq})=5.340\text{ 4 g}$	
	342.41	1 006.840		342.35	904.524		
	347.37	1 119.707		347.31	1 006.489		
	352.32	1 232.598		352.26	1 108.484		
	357.28	1 345.509		357.18	1 210.405		
	362.24	1 458.890		362.16	1 312.338		
2	302.63	102.923	$T_0=297.67\text{ K}$ $m_1=1.456\text{ 1 mol/kg}$ $\alpha_k=2.685\text{ 6}$ $M(\text{aq})=5.337\text{ 4 g}$	302.62	111.418		
	307.58	205.968		307.58	223.113		
	312.53	309.667		312.54	335.138		
	317.49	413.923		317.49	447.476		
	322.44	518.366		322.45	560.392	$T_0=297.67\text{ K}$	
	327.39	623.107		327.40	673.560	$m_1=3.231\text{ 6 mol/kg}$	
	332.35	727.849		332.36	786.753	$\alpha_k=4.316\text{ 9}$	
	337.31	832.789		337.35	900.560	$M(\text{aq})=6.043\text{ 8 g}$	
	342.26	937.916		342.28	1 014.528		
	347.22	1 043.237		347.23	1 128.743		
	352.17	1 149.014		352.18	1 243.255		
	357.12	1 254.957		357.13	1 357.507		
	362.07	1 360.802		362.08	1 472.011		
3	302.72	118.277	$T_0=297.76\text{ K}$ $m_1=1.982\text{ 9 mol/kg}$ $\alpha_k=2.696\text{ 0}$ $M(\text{aq})=6.267\text{ 5 g}$	302.67	106.049		
	307.67	236.864		307.62	212.076		
	312.64	356.102		312.59	318.714		
	317.59	475.380		317.56	425.812		
	322.55	594.785		322.53	533.348	$T_0=297.72\text{ K}$	
	327.52	714.648		327.49	641.066	$m_1=3.710\text{ 8 mol/kg}$	
	332.47	835.063		332.46	748.922	$\alpha_k=4.736$	
	337.43	955.695		337.38	857.165	$M(\text{aq})=5.764\text{ 5 g}$	
	342.39	1 076.939		342.32	965.496		
	347.34	1 198.360		347.27	1 073.910		
	352.3	1 319.753		352.22	1 182.714		
	357.25	1 441.595		357.24	1 291.380		
	362.2	1 563.635		362.07	1 360.802		

1)  $M(\text{aq})$  is solution mass.

表3 不同浓度铝酸钠溶液的 $\Delta_{T_0}^T H$ Table 3  $\Delta_{T_0}^T H$  of sodium aluminate solution with different concentrations

Experiment No.	T/K	$\Delta_{T_0}^T H/J$	Condition	Experiment No.	T/K	$\Delta_{T_0}^T H/J$	Condition
7	302.62	108.970	$T_0=297.72\text{ K}$ $m_1=4.219\text{ mol/kg}$ $a_k=3.347\text{ 4}$ $M(\text{aq})=5.989\text{ 0 g}$	302.74	94.864	$T_0=297.79\text{ K}$ $m_1=4.928\text{ 1 mol/kg}$ $a_k=1.979\text{ 1}$ $M(\text{aq})=5.375\text{ 4 g}$	
	307.57	218.138		307.70	189.581		
	312.53	327.815		312.66	285.004		
	317.48	437.915		317.60	381.127		
	322.44	548.029		322.58	477.244		
	327.40	658.446		327.53	573.761		
	332.36	769.174		332.49	670.483		
	337.31	880.287		337.42	767.546		
	342.27	991.469		342.41	864.832		
	347.22	1 102.869		347.37	962.069		
	352.18	1 214.504		352.31	1 059.434		
	357.13	1 326.139		357.26	1 156.802		
	362.08	1 437.946		362.23	1 254.413		
8	302.64	112.185	$T_0=297.73\text{ K}$ $m_1=2.888\text{ 0 mol/kg}$ $a_k=3.361\text{ 7}$ $M(\text{aq})=5.340\text{ 4 g}$	302.75	102.754	$T_0=297.79\text{ K}$ $m_1=5.520\text{ 0 mol/kg}$ $a_k=2.410\text{ 8}$ $M(\text{aq})=5.980\text{ 8 g}$	
	307.60	225.616		307.71	205.986		
	312.55	339.539		312.67	309.955		
	317.50	453.878		317.63	414.497		
	322.45	568.438		322.58	519.438		
	327.41	683.307		327.54	624.729		
	332.36	798.540		332.49	730.145		
	337.31	914.018		337.45	835.696		
	342.27	1 029.901		342.41	941.293		
	347.22	1 145.768		347.34	1 047.113		
	352.18	1 261.716		352.3	1 153.048		
	357.13	1 377.877		357.28	1 258.889		
	362.08	1 494.448		362.23	1 364.906		
9	302.62	103.038	$T_0=297.67\text{ K}$ $m_1=4.691\text{ 0 mol/kg}$ $a_k=4.437\text{ 4}$ $M(\text{aq})=5.697\text{ 8 g}$	302.75	111.120	$T_0=297.81\text{ K}$ $m_1=6.162\text{ 6 mol/kg}$ $a_k=2.037\text{ 4}$ $M(\text{aq})=6.603\text{ 6 g}$	
	307.58	206.293		307.71	224.773		
	312.54	309.880		312.66	339.426		
	317.50	413.766		317.62	454.496		
	322.46	517.773		322.57	570.202		
	327.41	622.093		327.53	686.294		
	332.36	726.667		332.49	802.437		
	337.32	831.508		337.46	918.738		
	342.28	936.738		342.41	1 035.099		
	347.23	1 042.050		347.37	1 151.475		
	352.18	1 147.509		352.32	1 268.049		
	357.14	1 253.179		357.27	1 384.731		
	362.19	1 359.076		362.23	1 501.417		

实验 1~10 号所采用的空白在温度为 298.15~363.15 K 常压条件下  $\Delta_{T_0}^T H$  与  $T$  的关系式为

$$\Delta_{T_0}^T H = -1.100 \times 10^4 - 121.923 T + 0.553 T^2 - 0.110 T^3 + 8.337 \times 10^{-7} T^4 \quad (3)$$

实验 11、12 号所采用的空白在温度为 298.15~363.15 K 常压条件下  $\Delta_{T_0}^T H$  与  $T$  的关系式为

$$\Delta_{T_0}^T H = 1218.811 - 14.850 T + 677.708 T^2 - 1.370 \times 10^{-4} T^3 + 1.032 \times 10^{-7} T^4 \quad (4)$$

根据上述实验方法, 在温度为 298.15~363.15 K 常压条件下溶液体系所测得的  $\Delta_{T_0}^T H$  (表 2~3) 与温度  $T$  的关系式, 减去空白时所产生的  $\Delta_{T_0}^T H$  与  $T$  的关系式(方程(3)和(4)), 再除以待测溶液的质量。所求得  $\Delta_{T_0}^T H_g$  与  $T$  的关系式为

$$\Delta_{T_0}^T H_M = K + K_1 T + K_2 T^2 + K_3 T^3 + K_4 T^4 \quad (5)$$

由实验结果所得方程(5)的参数列于表 4。 $c_p$  与  $T$  的关系式可以通过对方程(5)求导得到, 从而可求表 2 和 3 中各实验条件下铝酸钠溶液三元体系温度为  $T$  时的比定压热容

$$c_p = K_1 + 2K_2 T + 3K_3 T^2 + 4K_4 T^3 \quad (6)$$

表 4 方程(5)的回归参数

Table 4 Regression parameters for Eq.(5)

Experiment No.	$K$	$K_1$	$K_2$	$K_3$	$K_4$
1	11 439.085	-146.368	0.671	$-1.330 \times 10^{-3}$	$9.877 \times 10^{-7}$
2	816.113	-19.302	0.102	$-2.020 \times 10^{-4}$	$1.511 \times 10^{-7}$
3	-5 606.953	58.528	-0.250	$5.040 \times 10^{-4}$	$-3.795 \times 10^{-7}$
4	-2 577.248	22.967	-0.093	$1.990 \times 10^{-4}$	$-1.561 \times 10^{-7}$
5	-2 507.189	21.722	-0.086	$1.790 \times 10^{-4}$	$-1.380 \times 10^{-7}$
6	-6 978.282	77.391	-0.345	$7.150 \times 10^{-4}$	$-5.531 \times 10^{-7}$
7	-3 514.083	33.733	-0.139	$2.840 \times 10^{-4}$	$-2.159 \times 10^{-7}$
8	-1 026.064	3.969	-0.006	$1.900 \times 10^{-5}$	$-1.887 \times 10^{-8}$
9	-3 836.415	37.918	-0.159	$3.260 \times 10^{-4}$	$-2.486 \times 10^{-7}$
10	-2 425.355	21.836	-0.090	$1.950 \times 10^{-4}$	$-1.551 \times 10^{-7}$
11	1 552.788	-25.707	0.123	$-2.290 \times 10^{-4}$	$1.596 \times 10^{-7}$
12	3 335.739	-47.766	0.225	$-4.390 \times 10^{-4}$	$3.210 \times 10^{-7}$

### 2.3 体系比定压热容与浓度及组成的关系

由于上述方法只建立了  $c_p$  与  $T$  的关系式, 不能求出任意浓度及组分的比定压热容, 参考文献[12~13]二元水溶液体系建立模型的方式, 并加以改进, 试以方程(7)拟合所求得的比定压热容数据, 建立能在温度 298.15~363.15 K 总碱度小于 6 mol/kg 内都能适用的铝酸钠溶液三元体系比定压热容模型。

$$c_p = A + B_1 w_{\text{NaOH}} T + B_2 w_{\text{NaOH}} T^2 + B_3 w_{\text{NaOH}} T^3 + C_1 w_{\text{NaAl(OH)}_4} T + C_2 w_{\text{NaAl(OH)}_4} T^2 + C_3 w_{\text{NaAl(OH)}_4} T^3 \quad (7)$$

式中:  $T$  表示温度,  $w_{\text{NaOH}}$  和  $w_{\text{NaAl(OH)}_4}$  分别是 NaOH 和 NaAl(OH)<sub>4</sub> 在铝酸钠溶液体系中的质量分数, 可通过总碱度  $m_T$  ( $m_T = m_{\text{NaOH}} + m_{\text{NaAl(OH)}_4}$ ) 及苛性比  $\alpha_k$  ( $\alpha_k = m_T / m_{\text{NaAl(OH)}_4}$ ) 分别由方程(8)和(9)来表示:

$$w_{\text{NaOH}} = (m_T - m_T / \alpha_k) 39.996 7 / [1 000 + (m_T - m_T / \alpha_k) 39.996 7 + 117.999 4 m_T / \alpha_k] \quad (8)$$

$$w_{\text{NaAl(OH)}_4} = m_T 117.999 4 / [a_k [1 000 + (m_T - m_T / \alpha_k) 39.996 7 + 117.999 4 m_T / \alpha_k]] \quad (9)$$

方程(7)中  $A$ 、 $B_1$ 、 $B_2$ 、 $B_3$ 、 $C_1$ 、 $C_2$ 、 $C_3$  是回归系数系数列于表 5。

表5 方程(7)的回归系数

Table 5 Regression parameters for Eq.(7)

A	B <sub>1</sub>	B <sub>2</sub>	B <sub>3</sub>	C <sub>1</sub>	C <sub>2</sub>	C <sub>3</sub>
4.100 76	0.693 759	$3.112\ 02 \times 10^{-4}$	$3.678\ 47 \times 10^{-7}$	-0.076 190 5	$4.031\ 54 \times 10^{-4}$	$-5.656\ 94 \times 10^{-7}$

拟合方程平均偏差小于0.53%，最大不超过3%。并用拟合的方程(7)计算文献[4]在温度298.15 K条件下离子强度( $I=m_T=m_{\text{NaOH}}+m_{\text{NaAl(OH)}_4}$ )为1~6 mol/kg及不同 $\text{NaAl(OH)}_4(\text{aq})$ 含量(不包括 $m_{\text{NaAl(OH)}_4}=0$  mol/kg)的比定压热容数据，用方程计算的比定压热容值 $c_{p,\text{cal}}$ 与文献的实验值 $c_{p,\text{exp}}$ 比较，相对平均偏差为1.4%，其中最大相对偏差为4.1%，且在浓度低于4 mol/kg，相对平均偏差为0.2%，说明所回归方程可以准确计算铝酸钠溶液离子强度1~6 mol/kg的比定压热容。

根据方程(7)所计算的铝酸钠溶液比定压热容与浓度、温度、苛性比关系如图1所示。

从图1可以看出，铝酸钠溶液的比定压热容随温度的升高而增大，同时随着总碱度的增大而减小。当总碱度 $m_T$ 一定时，随着溶液的 $\alpha_k$ 的增大即溶液中 $\text{NaAl(OH)}_4$ 的浓度的减小溶液体系的比定压热容增大，这与文献[7]所研究的铝酸钠溶液体系在10 MPa的大气压强下比定压热容随温度及各组分浓度变化的规律基本一致。

#### 2.4 铝酸钠溶液的表观摩尔比定压热容

将比定压热容数据代入下面方程<sup>[4]</sup>可求出三元体系铝酸钠溶液的表观摩尔热容

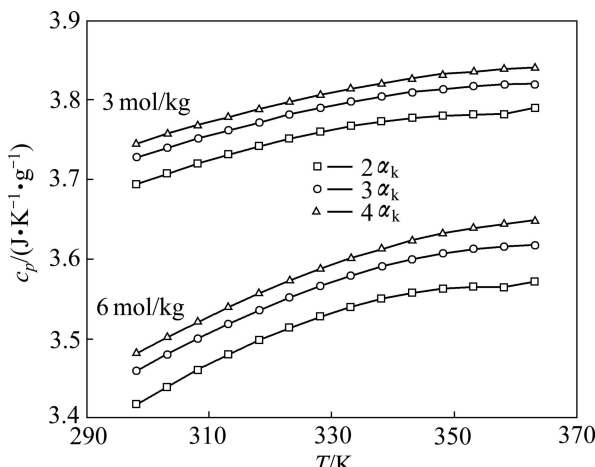


图1 不同浓度铝酸钠溶液比定压热容—温度曲线

Fig. 1  $c_p-T$  curves of sodium aluminate solution with different concentrations

$$c_{p\phi} = [c_p(1000 + m_2 M_2 + m_3 M_3) - 1000 c_p^0] / (m_2 + m_3) \quad (10)$$

式中： $c_{p\phi}$ (单位为J/(K·mol))为铝酸钠溶液体系的表观摩尔热容， $c_p$ 为比定压热容， $m_2$ 和 $m_3$ 分别指该溶液体系中 $\text{NaOH}$ 与 $\text{NaAl(OH)}_4$ 的质量摩尔浓度， $M_2$ 和 $M_3$ 分别指 $\text{NaOH}$ 与 $\text{NaAl(OH)}_4$ 的摩尔质量， $c_p^0$ 是指纯水的比定压热容，具体值见文献[11]。

在铝酸钠溶液中离子强度可用总碱度 $m_T$ 来表示， $\text{NaAl(OH)}_4$ 浓度的变化可以用 $1/\alpha_k$ 即 $m_{\text{NaAl(OH)}_4}/m_T$ 来表示。当温度一定时不同浓度铝酸钠溶液表观摩尔热容与 $1/\alpha_k$ 关系如图2所示。

当组成一定时，铝酸钠溶液表观摩尔热容随温度下变化规律见图3。

从图1和2中可以知道，铝酸钠溶液在298.15~363.15 K温度条件下的表观摩尔热容有以下规律：当温度和 $\alpha_k$ 一定时随离子强度的增大而增大；当温度一定时，随着 $1/\alpha_k$ 的增大表观摩尔热容呈线性增长规律，即表观摩尔热容与 $m_{\text{NaAl(OH)}_4}/m_T$ 呈线性规律，这基本符合WU<sup>[14]</sup>所引用的Young规律，这一规律使得计算该体系中纯 $\text{NaAl(OH)}_4(\text{aq})$ 的表观摩尔热容成为可能；当组成一定时，温度在298.15~363.15 K下铝酸钠溶液表观摩尔热容先呈明显的增大趋势但当接近363.15 K表观摩尔热容随温度升高逐渐出现了减小趋势，根据文献[15]表明， $\text{NaOH}$ 溶液在这个温度范围内表观摩尔热容也呈先增大后在接近363.15 K时也开始逐渐减小，同时综合文献[2, 4~5, 7]可知，纯 $\text{NaAl(OH)}_4(\text{aq})$ 表观摩尔热容在298.15~363.15 K也在近363.15 K时呈现出下降趋势，这与本研究所得结果基本一致。

### 3 结论

- 1) 测定了铝酸钠溶液三元体系温度在298.15~363.15 K，离子强度1~6 mol/kg的比定压热容，并提出了体系比定压热容与温度和浓度及苛性比的关系式，用本研究所建立的关系式计算25 °C时离子强度1~6 mol/kg及苛性比1.9~10的比定压热容值与文献值

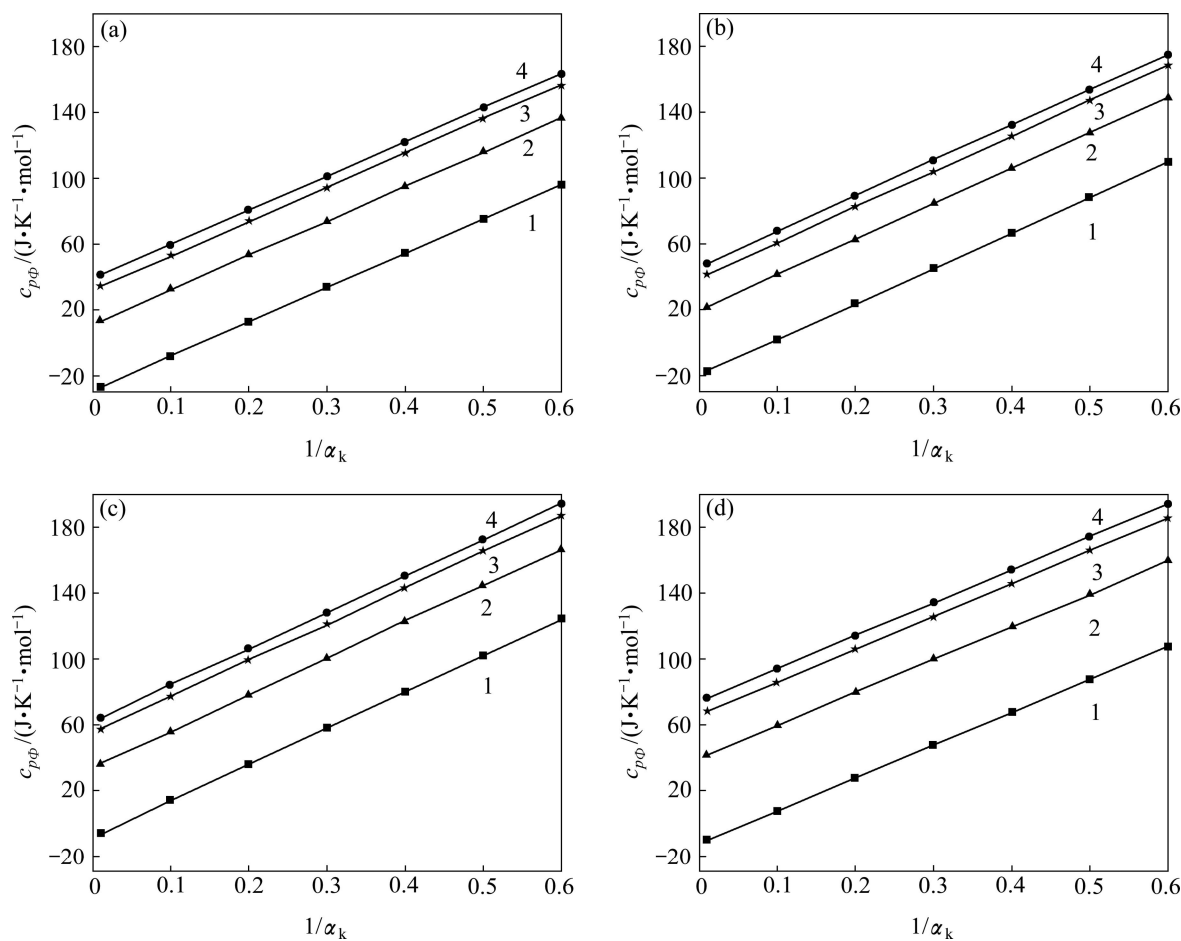


图2 不同温度下铝酸钠溶液表观摩尔热容随  $1/\alpha_k$  及离子强度  $I$  变化图

**Fig. 2** Isobaric apparent molar heat capacities of sodium aluminate solution as a function of level of substitution of aluminate for  $1/\alpha_k$  at various temperatures: (a) 298.15 K; (b) 308.15 K; (c) 333.15 K; (d) 363.15 K (constant ionic strengths: 1—1.0 mol/kg; 2—2.0 mol/kg; 3—3.0 mol/kg; 4—4.0 mol/kg)

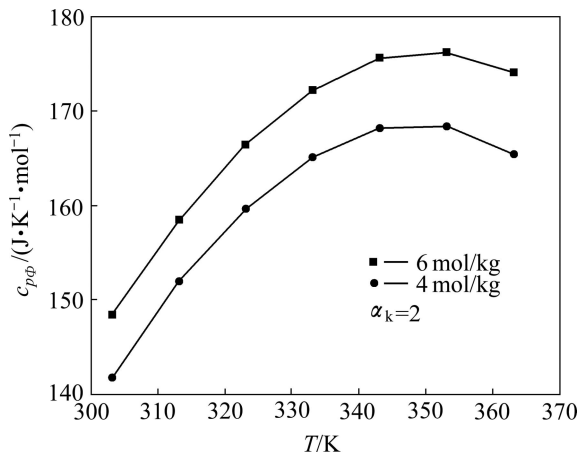


图3 铝酸钠溶液的  $c_{p\phi}$ — $T$  曲线

**Fig. 3**  $c_{p\phi}$ — $T$  curves of sodium aluminate solution

比较结果表明: 拟合的方程能较准确地计算铝酸钠溶液的比定压热容, 可供工程实验和设计时使用。

2) 计算出了溶液体系的表观摩尔比定压热容, 并研究表观摩尔比定压热容与溶液组成及温度的关系, 表观摩尔热容与  $m_{\text{NaAl(OH)}_4}/m_T$  呈线性规律, 这基本符合 Young 规律, 这一规律使得计算该体系中纯  $\text{NaAl(OH)}_4(\text{aq})$  的表观摩尔热容成为可能。

## REFERENCES

- [1] 杨重愚. 氧化铝生产工艺学[M]. 修订版. 北京: 冶金工业出版社, 1993: 135.  
YANG Zhong-yu. Industrial technology of aluminum oxide[M]. Revised ed. Beijing: Metallurgical Industry Press, 1993: 135.
- [2] HOVEY J K, HEPLER L G, THEMAINE P R. Thermodynamics of aqueous aluminate ion: Standard partial molar heat capacities and volumes of  $\text{Al}(\text{OH})_4^{-}(\text{aq})$  from 10 to 55 °C [J]. *J Phys Chem*, 1988, 92(5): 1323–1332.
- [3] MASHOVETS V P, PUCHKOV L V, MATVEEVA R R,

- BARANOVA T A. Specific heats of solutions in the system Na<sub>2</sub>O-Al<sub>2</sub>O<sub>3</sub>-H<sub>2</sub>O at 150–300 °C [J]. *Tsvetnye Metally*, 1969, 42(2): 60–63.
- [4] MAGALHAES M C F, KONIGSBERGER E, MAY P M, HEFTER G. Heat capacities of concentrated aqueous alkaline aluminate solutions 25 °C [J]. *Journal of Chemical & Engineering Data*, 2002, 47(4): 960–963.
- [5] CHEN Q Y, LI X U, HEPLER G. Calorimetric study of the digestion of gibbsite, Al(OH)<sub>3</sub>(cr), and thermodynamics of aqueous aluminate ion, Al(OH)<sub>4</sub><sup>−</sup>(aq)[J]. *Canadian Journal of Chemistry*, 1991, 69(11): 1685–1690.
- [6] CAIANI P, CONTI G, GIANNI P, MATTEOLI E. Apparent molar heat capacity and relative enthalpy of aqueous NaOH between 323 and 523 K[J]. *Journal of Solution Chemistry*, 1989, 17(5): 481–497.
- [7] SCHRÖDLE S, KÖNIGSBERGER E, MAY P M, HEFTER G. Heat capacities of aqueous sodium hydroxide/aluminate mixtures and prediction of the solubility constant of boehmite up to 300 °C [J]. *Geochimica et Cosmochimica Acta*, 2010, 74(8): 2368–2379.
- [8] SCHRÖDLE S, KÖNIGSBERGER E, MAY P M, HEFTER G. Heat capacities of aqueous solutions of sodium hydroxide and water ionization up to 300 °C at 10 MPa[J]. *Geochimica et Cosmochimica Acta*, 2008, 72(13): 3124–3138.
- [9] ZHOU Jun, CHEN Qi-yuan, LI Jie, YIN Zhou-lan, ZHOU Xia, ZHANG Ping-min. Isopiestic measurement of the osmotic and activity coefficients for the NaOH-NaAl(OH)<sub>4</sub>-H<sub>2</sub>O system at 313.2 K[J]. *Geochimica et Cosmochimica Acta*, 2003, 67(18): 3459–3472.
- [10] SETARAM Co. C80 II user manual[M]. SETARAM Co: Bordeaux, 2001: 37.
- [11] WANGER W, PRUSS A. The IAPWS formulation 1995 for the thermodynamic properties of ordinary water substance for general and scientific use[J]. *J Phys Chem*, 2002, 31(2): 387–535.
- [12] 田涛, 郑丹星, 武向红, 蒋翼然. 室温离子液体[Emim]BF<sub>4</sub>及其水溶液体系的恒压热容测定[J]. 北京化工大学学报: 自然科学版, 2008, 35(3): 27–31.
- TIAN Tao, ZHENG Dang-xing, WU Xiang-hong, JIANG Yi-ran. Determination the heat capacity of the ionic liquid [Emim]BF<sub>4</sub> and its aqueous solutions[J]. *Journal of Beijing University of Chemical Technology: Natural Science*, 2008, 35(3): 27–31.
- [13] 魏治, 武向红, 郑丹星, 王建召, 董丽. 离子液体[Emim]Br水溶液的比热容测量及其模型化[J]. 北京化工大学学报: 自然科学版, 2010, 37(1): 9–12.
- WEI Zhi, WU Xiang-hong, ZHENG Dan-xing, WANG Jian-zhao, DONG Li. Determination of the heat capacity of aqueous solutions of [Emim]Br[J]. *Journal of Beijing University of Chemical Technology: Natural Science*, 2010, 37(1): 9–12.
- [14] WU Y C. Young's mixture rule and its significance[J]. *J Phys Chem*, 1970, 74(21): 3781–3786.
- [15] ROUX A H, PERRON G, DESNOYERS J E. Heat capacities, volumes, expandabilities and compressibilities for concentrated aqueous solutions of LiOH, NaOH and KOH[J]. *Can J Chem*, 1984, 62(5): 878–888.

(编辑 李艳红)